

## تحلیل سینوپتیکی یخندان های بهاره جنوب شرق اصفهان

امیر گندمکار<sup>۱</sup>

سمیه خسروی<sup>۲</sup>

### چکیده :

از نگاه اقلیم شناسی، اصطلاح یخندان برای افت دمای هوا به صفر یا زیر صفر درجه سلسیوس ، به کار برده می شود. یکی از پدیده های هواشناسی با اهمیت، وقوع یخندان و بویژه یخندان بهاره است. از آن جایی که سالانه خسارات زیادی به کشاورزان و باغداران از طریق وقوع یخندان و در نتیجه سرمایدگی محصولات وارد میشود باید راهکارهای مناسبی جهت کاهش خسارات ناشی از آن ارائه شود. در این پژوهش به منظور آگاهی از چگونگی ایجاد یخندان های بهاره در جنوب شرق اصفهان آمار روزانه (حدائق دما) در دوره آماری (۱۹۸۷-۲۰۰۹) از سازمان هواشناسی استان دریافت و بررسی شد. در بهار روزی که (از روز ۲۱ مارس به بعد) دمای هوا به زیر نقطه انجماد رسیده را به عنوان روزی که در آن یخندان اتفاق افتاده در نظر گرفته و نقشه های هوای پنج روز قبل و دو روز بعد از حادثه ترسیم شد. نتایج نشان داد که یخندان های دیررس (بهاره) تحت تاثیر مرکز پرفشار سیبری و سیستم پرارفاع جنوب شرق اروپا به وقوع می پیوندد. با این تفاوت که در پرفشار سیبری شدت یخندان بیشتر است و همچنین هر جه به سالهای قبل بر می گردیم (۱۹۹۵) یخندان های شدیدتری را مشاهده می کنیم.

**کلید واژه:** تحلیل سینوپتیکی، یخندان بهاره، جنوب شرق اصفهان، الگوهای هوا

۱- استادیار دانشگاه آزاد اسلامی واحد نجف آباد

۲- دانشجوی کارشناسی ارشد اقلیم شناسی، دانشگاه پیام نور اصفهان

تاریخ دریافت: ۹۱/۴/۳      تاریخ پذیرش: ۹۱/۹/۲

## ۹۴// دو فصلنامه جغرافیا، شماره بیست و هارم، بهار و تابستان ۱۳۹۲

مقدمه:

و سعت خسارات ناشی از وقوع یخندهان در بخش های مختلف از جمله کشاورزی، آبرسانی، تهیه و توزیع سوخت، انرژی، جهانگردی، فعالیت های صنعتی، حمل و نقل، اعم از پل سازی و جاده سازی، لزوم شناخت و مطالعه دقیق بر روی این پدیده را برای مقابله با خسارات احتمالی ضروری می سازد. به طور کلی یخندهان بر اساس وضعیت جوی و عوامل بوجود آورنده آن، به دو نوع فرارفتی و تابشی تقسیم می گردد. یخندهان تابشی که در خلال شب های بدون باد و صاف رخ می دهد و یخندهان فرارفتی که در اثر انتقال توده هوای سرد در مقیاس وسیع رخ می دهد. میانگین یخندهان های فرارفتی معمولاً در بهار زودتر از یخندهان های تابشی و در پاییز دیرتر از یخندهان های تابشی رخ داده و دوره دوام این یخندهان ها طولانی تر است. الگوهای گردش جوی نقش اصلی را در وقوع یخندهان ها، شدت یخندهان و توزیع فضایی یخندهان ها به خصوص در مناطق معتدل به عهده دارند و رخداد پدیده های محیطی نظیر یخندهان و سرمازدگی در ارتباط با تکرار سیستم های سینوپتیکی و تیپ های هوا می باشد. آخرین سرماهی زمستانه که معمولاً به وقوع می پیوندد، اگر مصادف با مرحله حساس گیاه به سرما باشد، سبب از بین رفتن شکوفه ها، میوه های جوان و یا نهال های کوچک سبزیجات می گردد. البته بیشترین خسارات یخندهان به عنوان یخندهان پیش رس در پاییز یا یخندهان دیررس در بهار رخ می دهد (کاویانی، ۱۳۸۷، ص ۱۹۴).

در خارج از کشور تلاش های زیادی برای شناسایی و مبارزه با پدیده سرمازدگی، همچنین ارزیابی سینوپتیکی یخندهان های بهاره صورت گرفته است. برای نمونه: Takahashi (۱۹۹۰) یخندهان را به دو نوع تابشی و فرارفتی تقسیم می کند و نوع فرا رفتی را برای محصولات کشاورزی بویژه باگی خسارت بار معرفی می کند (takahashi, ۱۹۹۰, ۱۰).

## تحلیل سینوپتیکی یخندان های بهاره جنوب شرق اصفهان..... ۹۵۱۱

Rosenzweig,Hillel (۱۹۹۳) یخندان های دیررس بهاره را که پیوسته با کاهش دمای کمینه روزانه رخ می دهند و گیاهانی که در فصل زمستان شکوفا می شوند را برآیند گرمایش جهانی می پندارند و آن را یکی از مخاطرات بالقوه و مخرب بیان میکند (Rosenzweig,Hillel, ۱۹۹۳:۲۰۸-۲۲۱).

Easterling (۲۰۰۰) در مورد تعداد روزهای یخندان و روزهای یخی مطالعات وسیعی در دنیا انجام شده است. برای مثال در یک پژوهش در رابطه با بررسی روند تعداد روزهای یخندان در ۱۹۱۰ میلادی در ایالات متحده آمریکا مشخص گردید که در تعداد دوره ۹۸-۱۹۱۰ میلادی در ایالات متحده آمریکا مشخص گردید که در تعداد روزهایی با دمای کمتر از صفر درجه سانتیگراد (نقطه یخندان) کاهش معنی دار وجود دارد و همچنین شروع دوره بدون یخندان در شمال شرق ایالات متحده آمریکا در سالهای اخیر نسبت به دهه ۱۹۵۰ معادل ۱۱ روز جلوتر آمده که بدین ترتیب نتیجه گیری شد که طول دوره رویش افزایش یافته است (Easterling, ۲۰۰۰:۴۱۷-۴۲۵).

Robeson (۲۰۰۲) روند یخندانهای بهاری زودرس در زمان وقوع پدیده الینو (۹۷-۱۹۰۶ میلادی) نیز گزارش شده اما هیچ روند در یخندان های پائیزی گزارش نشده است (Robeson, ۲۰۰۲:۲۱۹-۲۲۸).

کای و همکاران (۲۰۰۶) در مقاله ای تاثیر شرایط دمایی خطر سرمازدگی پس از برداشت میوه از گل ژاپنی رامطالعه نمودند و با محاسبه شاخص قهوه ای شدن اثر دمای پایین بر تغییر شکل این میوه را ارزیابی نمودند (caii, ۲۰۰۶:۷۹).

در ایران نیز پژوهش هایی در جهت مبارزه با سرمازدگی و شناسایی آماری و سینوپتیکی انجام شده است. از جمله:

رامین (۱۳۷۸) زارعین و باغداران در بیشتر سال ها به خاطر یخندان زودرس پاییزه و آخرین سرماهی بهاره دچار خسارات و صدمات زیادی می شوند، به عنوان مثال در بعضی از سال ها

## ۹۶// دو فصلنامه خبرآفای، شماره بیست و چهارم، بهار و تابستان ۱۳۹۲

باغات بادام شهر سامان از استان چهارمحال و بختیاری به خاطر سرمای بهاره تا ۸۰٪ کاهش محصول داشته اند، این امر به دلیل حساسیت بادام در قیاس با سایر درختان به سرما می باشد که سبب بازشدن زود هنگام شکوفه ها و مواجهه با دمای زیر صفر و از بین رفتن شکوفه ها می شود (خلجی، ۱۳۸۰، ص ۱۲۷).

قاسمی (۱۳۸۴) در پژوهشی با عنوان بررسی تاریخ وقوع اولین یخندهای پائیزه و آخرین یخندهای بهاره در کرمانشاه، نشان داد که خدمات حاصل از سرمازدگی باعث محدودیت تولید بعضی از گیاهان زراعی در بسیاری از مناطق معتدل شده است. روزنبرگ و مایرز وضعیت توپوگرافی محل را بیش از سایر عوامل در وقوع یخندا مثر می دانند. (کمالی، حبیبی نو خندان، ۱۳۸۴، ص ۱۲۸).

براتی (۱۳۷۵) روزهای یخندا بهاره شمال غرب ایران را شناسایی کرد و سپس الگوهای گردش سطح زمین و سطح ۵۰۰ هکتوپاسکال روزهای مذکور را از نظر فراوانی زمانی و مکانی بررسی کرد. بلیغی (۱۳۷۵) همین کار را درباره سرماهای شدید منطقه خراسان انجام داد و پس از شناسایی روزهای سرد وضعیت پرفشار سیبری را در آن روزها بررسی کرد (علیجانی، ۱۳۸۵، ص ۱۵).

سمیعی و همکاران به تجزیه و تحلیل اقلیمی اطلاعات و احتمالات تاریخ شروع و خاتمه یخندهای پائیزه و بهاره در آستانه های بحرانی دما و طول دوره رویش در ایران پرداختند (صداقت کردار، رحیم زاده، ۱۳۸۶، ص ۱۸۲).

روزنبرگ و مایرز (۱۹۶۲: ۴۷۹-۴۷۱) رویدادهای تاریخی مربوط به وقوع یخندهای زودرس پائیزه و دیررس بهاره را در ۱۰ مکان در داخل و اطراف دره پلت در ایالت نبراسکا مورد مطالعه قرار دادند (هزبرپور، علیجانی، ۱۳۸۶، ص ۲).

براتی (۱۳۷۸) در مقاله ای روابط سیستمی پرفشارهای مهاجر و یخندهای بهاره ایران را بررسی نمود (براتی، ۱۳۷۸، ص ۱۳۲).

## تکلیل سینه‌سکی یخندان های بهاره جنوب شرق اصفهان ..... ۹۷/۱۱

خسروی و همکاران (۱۳۸۷) در مقاله ای به پنهانه بندی خطر سرمازدگی دیررس بر روی باغات شهرستان مه ولات خراسان رضوی پرداختند (خسروی و همکاران، ۱۳۸۷، ص ۱۶۲).

خورشید دوست و سلمان پور (۱۳۸۷) در مقاله ای به بررسی آگاهی دقیق از نوسانات تاریخ های وقوع یخندان پرداختند (خورشید دوست و همکاران، ۱۳۸۷، ص ۸۵).

فتاحی و صالحی پاک (۱۳۸۸) در مقاله ای به بررسی یخندان های زمستانهای ایران پرداختند (فتاحی و صالحی پاک، ۱۳۸۸، ص ۱۲۷).

هاگ (۱۹۷۵) یخندان های فرارفتی و تشعشعی را در یک دوره ۳۰ ساله برای کنت انگلستان مطالعه کرد و به این نتیجه رسید که یخندان های فرارفتی ۲۵ درصد از کل یخندان های بهاره را در مالینیک شرقی شامل می شود (فتاحی، صالحی پاک، ۱۳۸۸، ص ۱۲۸).

در میان عوامل تاثیرگذار روی ایمنی حمل و نقل جاده ای، پدیده های اقلیمی دارای اهمیت بالایی هستند، اگرچه این پدیده ها اجتناب ناپذیر و در مواردی خارج از توان و اختیار انسان می باشند، اما بعضی از آنها را می توان با اعمال روش هایی در طراحی راه و بعضی از آنها را به حضور به موقع عوامل راهداری در محل به حداقل رساند (برنا، امینی نیا، محمدی، ۱۳۸۹، ص ۱۲۲).

آسیب دیدگی گیاه بعلت وقوع یخندان در اواخر پاییز و اوایل بهار یکی از خسارات عمدۀ اقتصادی باقداران و کشاورزان منطقه دشت مشهد می باشد. وقوع یک یخندان شدید در طی ۲۶ تا ۲۹ اردیبهشت سال ۱۳۸۶ در ایالات متحده آمریکا منجر به خسارات ۲۵۷/۵ میلیون دلاری در تولید هلو، فندق، ذرت و غلات دانه ریز شد (سیاری و همکاران، ۱۳۸۹، ص ۱۰۷). مجرد قره باغ (۱۳۷۶) در زمینه اصول و روش های تحلیل و پیش بینی کمی یخندان در منطقه آذربایجان وجود همبستگی های خطی معتبر و معکوس بین سری های زمانی آغاز و خاتمه یخندان را به دست آورد و نشان داد که هر قدر آغاز یخندان در منطقه مورد مطالعه زودتر از

## ۹۸// دو فصلنامه جغرافیا، شماره بیست و چهارم، بهار و تابستان ۱۳۹۲

میانگین کل اغازها رخ دهد، خاتمه آن نیز در بهار دیرتر از میانگین کل پایان ها رخ خواهد داد (طاووسی، درخشی، ۱۳۸۹، ص ۹۱).

در بهار ۱۳۸۸ خسارات ناشی از سرمازدگی در استان اصفهان ۸۳۰ میلیارد ریال بوده است (یزدان پناه، اوحدی، ۱۳۸۹، ص ۱۱۲).

هدف این تحقیق توسعه و بکارگیری یک مدل سینوپتیکی برای تحلیل یخندان های بهاره جنوب شرق اصفهان می باشد. بدین وسیله یک پیش آگاهی نسبی از وقوع یخندان های دیررس بهاره به دست آمده تا قبل از وقوع یخندان اقدامات لازم جهت پیشگیری از خسارت های ناشی از آن و کاهش آثار بلایای طبیعی در بخش های مختلف انجام گیرد.

### **متداول‌بودن داده ها و روش شناسی:**

به منظور بررسی یخندان های دیررس بهاره در جنوب شرق اصفهان از آمار روزانه ایستگاه هواشناسی کبوترآباد استفاده شد. این آمار از ابتدای سال ۱۹۸۷ تا انتهای سال ۲۰۰۹ میلادی و به صورت روزانه بوده است. بدین منظور روزهایی از فصل بهار (۲۱ مارس به بعد) که در آن حداقل دمای روزانه پایین تر از صفر درجه سانتیگراد بوده است جدا شده و اطلاعات آن در جدول شماره ۱ آورده شده است.

**جدول شماره ۱ : تاریخ روزهای یخندان از اول مارس ۱۹۸۷-۲۰۰۹**

ردیف	سال	ماه	روز شروع	روز خاتمه	تعداد روز	حدائق	دما
۱	۱۹۸۷	مارس	۲۱	۲۳	۳	-۳/۵	
۲	۱۹۸۷	مارس	۲۹	۲۹	۱	-۲	
۳	۱۹۸۸	مارس	۲۵	۲۵	۱	-۰/۵	
۴	۱۹۸۸	آوریل	۳	۴	۲	-۱	
۵	۱۹۸۹	مارس	۳۰	۳۱	۲	-۳/۶	
۶	۱۹۸۹	آوریل	۱	۱	۱	-۰/۱	

**تخلیل سینه‌سکی یخندهان های بهاره جنوب شرق اصفهان ..... ۹۹/۱/۱**

				آمار ندارد	۱۹۹۹	۷
				آمار ندارد	۱۹۹۱	۸
-۰/۵	۱	۲۳	۲۳	مارس	۱۹۹۲	۹
-۲/۸	۲	۲۶	۲۵	مارس	۱۹۹۲	۱۰
-۱/۴	۱	۲۸	۲۸	مارس	۱۹۹۲	۱۱
-۰/۲	۳	۲۵	۲۳	مارس	۱۹۹۳	۱۲
-۰/۲	۱	۲۹	۲۹	مارس	۱۹۹۳	۱۳
-	-	-	-	-	۱۹۹۴	۱۴
-۲/۸	۲	۲۹	۲۸	مارس	۱۹۹۵	۱۵
-۰/۸	۲	۲۹	۲۸	مارس	۱۹۹۶	۱۶
-۰/۶	۱	۶	۶	آوریل	۱۹۹۶	۱۷
-۲	۱	۲۱	۲۱	مارس	۱۹۹۷	۱۸
-۱/۸	۲	۲۷	۲۶	مارس	۱۹۹۷	۱۹
-۱/۸	۱	۳۱	۳۱	مارس	۱۹۹۷	۲۰
-۲/۴	۳	۱۴	۱۲	آوریل	۱۹۹۷	۲۱
-	-	-	-	-	۱۹۹۸	۲۲
-	-	-	-	-	۱۹۹۹	۲۳
-۰/۶	۱	۲۶	۲۶	مارس	۲۰۰۰	۲۴
-	-	-	-	-	۲۰۰۱	۲۵
-۱	۱	۲۴	۲۴	مارس	۲۰۰۲	۲۶
-۱/۲	۲	۲۹	۲۸	مارس	۲۰۰۳	۲۷
-۲	۲	۲۳	۲۲	مارس	۲۰۰۴	۲۸
-۳/۴	۲	۲۸	۲۷	مارس	۲۰۰۵	۲۹
-۱/۶	۱	۷	۷	آوریل	۲۰۰۵	۳۰
-۲	۲	۲۷	۲۶	مارس	۲۰۰۹	۳۱

## ۱۳۹۲/۱۰۰ دو فصلنامه خزانه، شماره پیست و هارم، هاروتاستان

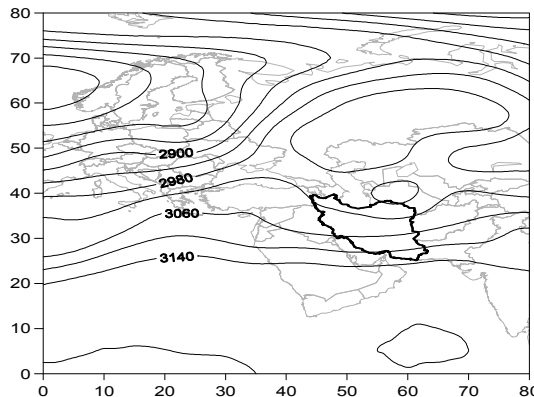
-۱	۱	۲۹	۲۹	مارس	۲۰۰۹	۳۲
-۱	۱	۲	۲	آوریل	۲۰۰۹	۳۳

در این پژوهش از فنون اقلیم شناسی سینوپتیک (تحلیل نقشه های هوای استفاده شده است. در این مطالعه منظور از جنوب شرق اصفهان منطقه ای است که شامل ایستگاه کبوتر آباد پوشش داده می شود. برای دوره آماری این منطقه یک دوره ۲۰ ساله شامل سالهای ۱۹۸۷-۲۰۰۹ از سازمان هواشناسی دریافت شد. در ادامه با در نظر گرفتن روزهای وقوع حداقل های مطلق دما، نقشه های سطح ۷۰۰ هکتوپاسکال و تراز دریا SLP همان روز و حدوداً پنج روز قبل و دو روز بعد از آن بررسی شده است. به این صورت که از پنج روز قبل از بروز یخندان تا روزی که پدیده مورد نظر اتفاق افتاده، هر روز نقشه های سطوح مختلف و الگوهای سینوپتیکی موجود در نقشه مورد ارزیابی و بررسی قرار گرفته و نتایج بررسی به صورت نقشه های سینوپتیکی که وضعیت روزهای یخندان را در دوره آماری ۲۰ سال و ماه های مورد نظر (مارس و آوریل) بیان می کند، برای نمونه چند مورد از یخندان ها در این دوره آماری همراه با تحلیل به ارائه شده است.

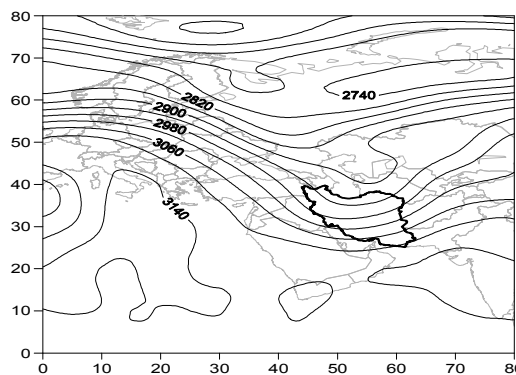
### بحث:

اولین یخندان شدید مربوط به ۲۱ مارس ۱۹۸۷ می باشد که در آن حداقل دما به  $-3/5$  درجه سانتی گراد رسیده شکل شماره ۱ شرایط جوی و آرایش سامانه های تراز ۷۰۰ هکتوپاسکال را در روز ۲۱ مارس نشان می دهد. در روزهای قبل از وقوع این یخندان یک الگوی فرود بلند مدیترانه به سمت ایران حرکت کرده است و پس از عبور این فرود و در روز ۲۱ مارس یک سامانه پر ارتفاع از شمال غربی وارد ایران شده که محور فرود محدوده  $50^{\circ}$  تا  $60^{\circ}$  درجه شرقی را پوشش داده و این زبانه به طرف شرق پیش روی کرده و باعث ریزش هوای سرد از سمت شمال غرب در این منطقه شده است.

## تحلیل سینوپتیکی یخندهان های باره جنوب شرق اصفهان ..... ۱۰۱\۱\۱

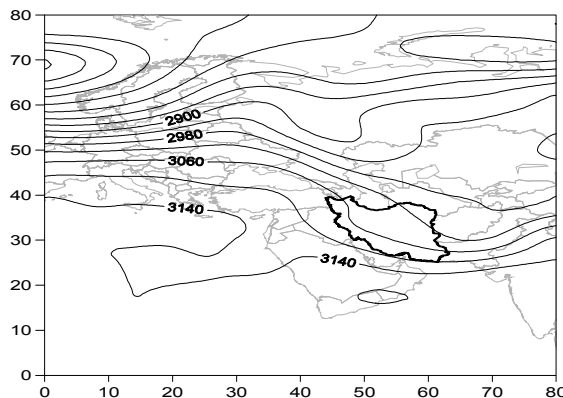


شکل شماره ۱: نقشه الگوی هوای سطح ۷۰۰ هکتوپاسکال در روز ۲۱ مارس ۱۹۸۷  
دومین یخندهان شدید مریبوط به ۳۰ مارس ۱۹۸۹ می باشد که در آن حدائقی دما به  $-3/6$  درجه  
سانتری گراد رسیده شکل شماره ۲ شرایط جوی و آرایش سامانه های تراز ۷۰۰ هکتوپاسکال را  
در روز ۳۰ مارس نشان می دهد. در روزهای قبل از وقوع این یخندهان یک الگوی فرود بلند  
مدیترانه به سمت ایران حرکت کرده است و پس از عبور این فرود و در روز ۳۰ مارس یک  
سامانه پر ارتفاع از شمال غربی وارد ایران شده که محور فرود محدوده ۵۰ تا ۶۰ درجه شرقی را  
پوشش داده و این زبانه به طرف شرق گسترش پیدا کرده و باعث ریزش هوای سرد از سمت  
شمال غرب در این منطقه شده است.



## ۱۰۲// دو فصلنامه جغرافیا، شماره پیست و چهارم، بهار و تابستان ۱۳۹۲

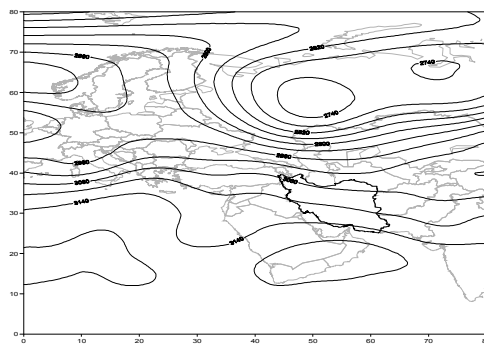
شکل شماره ۲: نقشه الگوی هوای سطح ۷۰۰ هکتوپاسکال در روز ۳۰ مارس ۱۹۸۹ سومین یخنده شدید مربوط به ۲۳ مارس ۱۹۹۳ می باشد که در آن حدائق دما به  $5/2^{\circ}$ - درجه سانتی گراد رسیده شکل شماره ۳ شرایط جوی و آرایش سامانه های تراز ۷۰۰ هکتوپاسکال را در روز ۲۳ مارس نشان می دهد. در روزهای قبل از وقوع این یخنده یک الگوی فرود بلند مدیترانه به سمت ایران حرکت کرده است و پس از عبور این فرود و در روز ۲۳ مارس یک سامانه پر ارتفاع از شمال و شمال غربی وارد ایران شده که محور فرود محدوده ۵۰ تا ۶۰ درجه شرقی را پوشش داده و این زبانه به طرف مرکز و شرق گسترش پیدا کرده و باعث ریزش هوای سرد از سمت شمال و شمال غرب در این منطقه شده است.



شکل شماره ۳: نقشه الگوی هوای سطح ۷۰۰ هکتوپاسکال در روز ۲۳ مارس ۱۹۹۳ چهارمین یخنده شدید مربوط به ۲۷ مارس ۲۰۰۵ می باشد که در آن حدائق دما به  $3/4^{\circ}$ - درجه سانتی گراد رسیده شکل شماره ۴ شرایط جوی و آرایش سامانه های تراز ۷۰۰ هکتوپاسکال را در روز ۲۷ مارس نشان می دهد. در روزهای قبل از وقوع این یخنده یک الگوی فرود بلند مدیترانه به سمت ایران حرکت کرده است و پس از عبور این فرود و در روز ۲۷ مارس یک سامانه پر ارتفاع از شمال و شمال غربی وارد ایران شده که محور فرود محدوده

**تحلیل سینوپسکی یخندازهای ساره جنوب شرق اصفهان ..... ۱۰۳\۱\۱**

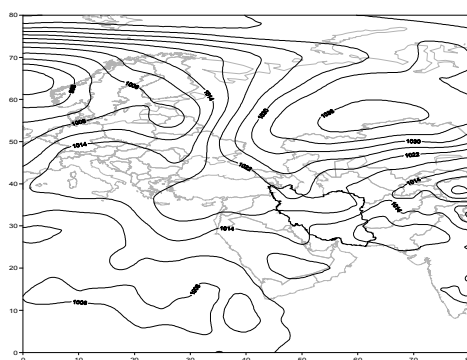
۵۰ تا ۶۰ درجه شرقی را پوشش داده و این زبانه به طرف مرکز و شرق گسترش پیدا کرده و باعث ریزش هوای سرد از سمت شمال و شمال غرب در این منطقه شده است.



شکل شماره ۴: نقشه الگوی هوای سطح ۷۰۰ هکتوپاسکال در روز ۲۷ مارس ۲۰۰۵ بررسی نقشه های سطح زمین (شکل های شماره ۵ تا ۸) نشان می دهد که شکل گیری و مرکز پرفشار سیبری بر روی منطقه و گسترش زبانه های آن از شمال و شمال شرق بر روی ایران موجب کاهش دما در بخش های ایران می گردد. استقرار مرکز پرفشار سیبری از چند روز تا چند هفته ممکن است روی دهد ولی در فصل بهار این پدیده بیشتر از چند روز دوام ندارد و گسترش آن هم چندان زیاد نیست. همانطور که می دانیم در واقع مرکز پرفشار و پرارتفاع سیبری، یک مرکز پرفشار با گسترش افقی بسیار زیاد و گسترش عمودی کم است. به همین دلیل اثرات حضور این مرکز در الگوهای فشار سطح دریا و لایه های هوای نزدیک سطح زمین مشاهده می شود اما در لایه های میانی و بالای جو اثری از این مرکز مشاهده نمی شود و در این لایه های جو حضور موج بادهای غربی و فرود و فرازهای حاصل از این امواج کمتر به چشم می خورد. اولین یخنداش شدید مربوط به ۲۱ مارس ۱۹۸۷ می باشد که در آن حداقل دما به  $-3/5$  درجه سانتی گراد رسیده شکل شماره ۵ شرایط جوی و آرایش الگوهای هوای سطح دریا را در روز ۲۱ مارس نشان می دهد. در روزهای قبل از وقوع این یخنداش یعنی پانزدهم مارس یک فرود بلند مدیترانه به سمت ایران حرکت کرده است و پس

## ۱۰۴// دو فصلنامه جغرافیا، شماره پیست و هارم، بهار و تابستان ۱۳۹۲

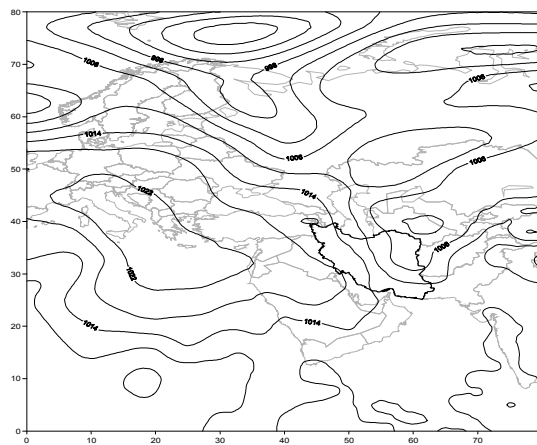
از عبور این فرود و در روز ۲۱ مارس یک سامانه پرفشار از شمال غربی وارد ایران شده که محور فرود محدوده ۵۰ تا ۶۰ درجه شرقی را پوشش داده و این زبانه به طرف شرق پیشروی کرده و باعث ریزش هوای سرد از سمت شمال غرب در این منطقه شده است.



شکل شماره ۵: نقشه الگوی هوای سطح دریا در روز ۲۱ مارس ۱۹۸۷

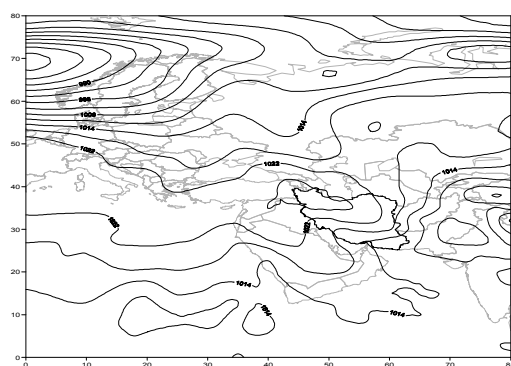
دومین یخنдан شدید مربوط به ۳۰ مارس ۱۹۸۹ می باشد که در آن حدائق دما به  $-3/6$  درجه سانتی گراد رسیده شکل شماره ۶ شرایط جوی و آرایش الگوهای هوای سطح دریا را در روز ۳۰ مارس نشان می دهد. در روزهای قبل از وقوع این یخنдан یک فرود بلند مدیترانه به سمت ایران حرکت کرده است و پس از عبور این فرود و در روز ۳۰ مارس یک سامانه پرفشار از شمال غربی وارد ایران شده که محور فرود محدوده ۵۰ تا ۶۰ درجه شرقی را پوشش داده و این زبانه به طرف شرق گسترش پیدا کرده و باعث ریزش هوای سرد از سمت شمال غرب در این منطقه شده است.

## تحلیل سینوپتیکی یخ‌بندان های باره جنوب شرق اصفهان ..... ۱۰۵\۱\۱



شکل شماره ۶: نقشه الگوی هوای سطح دریا در روز ۳۰ مارس ۱۹۸۹

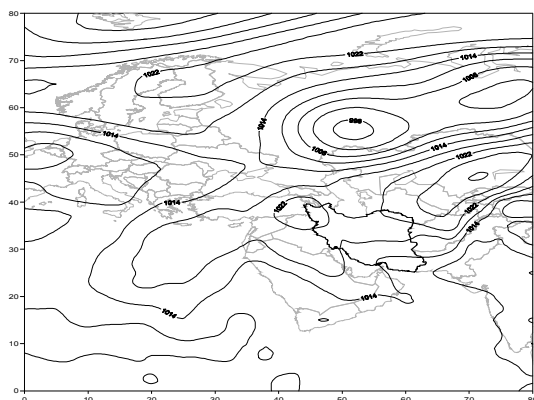
سومین یخ‌بندان شدید مربوط به ۲۳ مارس ۱۹۹۳ می باشد که در آن حدائقی دما به  $5/2$ - درجه سانتی گراد رسیده شکل شماره ۷ شرایط جوی و آرایش الگوهای هوای سطح دریا را در روز ۲۳ مارس نشان می دهد. در روزهای قبل از وقوع این یخ‌بندان یک فرود بلند مدیترانه به سمت ایران حرکت کرده است و پس از عبور این فرود و در روز ۲۳ مارس یک سامانه پرفشار از شمال و شمال غربی وارد ایران شده که محور فرود محدوده ۵۰ تا ۶۰ درجه شرقی را پوشش داده و این زبانه به طرف مرکز و شرق گسترش پیدا کرده و باعث ریزش هوای سرد از سمت شمال و شمال غرب در این منطقه شده است.



## ۱۰۶ دو فصلنامه جغرافیا، شماره سیست و چهارم، بهار و تابستان ۱۳۹۲

شکل شماره ۷: نقشه الگوی هوای سطح دریا در روز ۲۳ مارس ۱۹۹۳

چهارمین یخنده شدید مربوط به ۲۷ مارس ۲۰۰۵ می باشد که در آن حدائق دما به  $-3/4$  درجه سانتی گراد رسیده شکل شماره ۸ شرایط جوی و آرایش الگوهای هوای سطح دریا را در روز ۲۷ مارس نشان می دهد. در روزهای قبل از وقوع این یخنده بند مدیترانه به سمت ایران حرکت کرده است و پس از عبور این فرود و در روز ۲۷ مارس یک سامانه پرفشار از شمال و شمال غربی وارد ایران شده که محور فرود محدوده ۵۰ تا ۶۰ درجه شرقی را پوشش داده و این زبانه به طرف مرکز و شرق گسترش پیدا کرده و باعث ریزش هوای سرد از سمت شمال و شمال غرب در این منطقه شده است.



شکل شماره ۸: نقشه الگوی هوای سطح دریا در روز ۲۷ مارس ۲۰۰۵

## تحلیل سینوپتیک یخندهان های بهاره جنوب شرق اصفهان ..... ۱۰۷\۱۱

### نتیجه گیری :

به منظور بررسی ریشه های سینوپتیک یخندهان های بهاره در جنوب شرق اصفهان، روزهای یخندهان دوره‌ی آماری ۱۹۸۷-۲۰۰۹ ایستگاه سینوپتیک کبوترآباد استخراج شد. از بین این دوره ۲۰ سال شدیدترین یخندهان مربوط به سال ۱۹۹۳ می باشد. در بیشترین یخندهان ها، بیشتر پرفشارها منشا غربی داشتند به عبارت دیگر، فراوانی پرفشارهای مهاجر غربی بیشتر از گسترش زبانه های پرفشار سیبری بود. اما پرفشار سیبری در ایجاد سرماهای شدید قدرت بیشتری داشته است.

در بررسی نقشه های سطح ۷۰۰ هکتوپاسکال و  $81\text{hPa}$  دیده شد که در ۱۰ سال گذشته سرماهای خیلی شدید کمتر اتفاق افتاده و منشا بیشتر این یخندهان ها پرفشار غربی بوده ولی هر چه به سال های قبل از ۲۰۰۰ بر می گردیم یخندهان های بیشتر و شدیدتر و همچنین با منشاء پرفشار سیبری را مشاهده می کنیم.

نتایج بررسی حاضر نشان داد که تیپ های هوای پرفشار اروپای شمالی، پرفشار سیبری و پرفشار اروپای شرقی، بیشترین تاثیر را در رخداد یخندهان ها جنوب شرق اصفهان داشته اند.

## ۱۰۸// دو فصلنامه جغرافیا، شماره پیست و هم‌ارم، بهار و تابستان ۱۳۹۲

### منابع و مأخذ:

- ۱- برنا، رضا، امینی نیا، کریم، محمدی، حسین (۱۳۸۹): مطالعه‌ی تاثیر یخ‌بندان و لغزندگی بر روی ایمنی جاده‌ای با استفاده از ماتریس وضعیت‌های اقلیمی، مجله علمی-پژوهشی فضای جغرافیایی، سال دهم، شماره ۳۰، صص ۱۲۱-۱۳۶.
- ۲- براتی، غلامرضا، (۱۳۷۸): روابط سیستمی پروشاره‌ای مهاجر و یخ‌بندانهای بهاره ایران، فصلنامه تحقیقات جغرافیایی، سال چهاردهم، شماره ۳ و ۴، صص ۱۳۲-۱۵۰.
- ۳- خسروی، محمود، حبیبی نوختندا، مجید و اسماعیلی، رضا (۱۳۸۷): پنهانه بندی اثر خطر سرمایدگی دیررس بر روی باغات و مطالعه موردنی شهرستان مه ولات، جغرافیا و توسعه، شماره ۱۲، ص ۱۶۲-۱۴۵.
- ۴- خلجمی، مهدی (۱۳۸۰): پیش‌بینی سرمای دیررس بهاره و یخ‌بندان زودرس پائیزه برای تعدادی از گیاهان زراعی و باغی در استان چهار محال و بختیاری، تحقیقات «نهال و بلدر»، جلد ۱۷، شماره ۲، صص ۱۳۹-۱۲۶.
- ۵- خورشید دوست، علی محمد و سلمانپور، رقیه (۱۳۸۷): تحلیل نوسانات و آستانه‌های یخ‌بندانهای پائیزه و بهاره شهرستان اهر، فصلنامه فضای جغرافیایی، سال هشتم، شماره ۲۱، ص ۸۵.
- ۶- سیاری، نسرین، بنایا، محمد، علیزاده، امین و بهیار، محمدباقر (۱۳۸۹): بررسی امکان پیش‌بینی زمان و قوع یخ‌بندان با استفاده از روش تشخیص الگوهای نشریه آب و خاک (علوم و صنایع کشاورزی)، جلد ۲۴، شماره ۱، صص ۱۰۷-۱۱۷.
- ۷- صداقت کردار، عبدالا... و رحیم زاده، فاطمه (۱۳۸۶): تغییرات طول دوره رشد گیاهی در نیمه دوم قرن بیستم در کشور، پژوهش و سازندگی در زراعت و باغبان، شماره ۷۵، صص ۱۹۲-۱۸۲.
- ۸- طاووسی، تقی و درخشی، جعفر (۱۳۸۹): تحلیل آماری احتمال وقوع و دوره‌های برگشت یخ‌بندانهای زودرس و دیررس زاهدان در دوره آماری (۱۳۸۶-۱۳۸۰)، مجله علمی پژوهشی فضای جغرافیایی، سال دهم، شماره ۳۰، صص ۸۹-۱۰۴.
- ۹- علیجانی، بهلول (۱۳۸۵): اقیم شناسی سینوپتیک، چاپ دوم، تهران، سمت.
- ۱۰- فتاحی، ابراهیم و صالحی پاک، تهمینه (۱۳۸۸): تحلیل الگوی سینوپتیکی یخ‌بندانهای زمستانه ایران، جغرافیا و توسعه، شماره ۱۳، صص ۱۲۷-۱۳۶.
- ۱۱- قاسمی، محسن (۱۳۸۴): بررسی تاریخ وقوع اولین یخ‌بندانهای پائیزه و آخرین یخ‌بندانهای بهاره در کرمانشاه، هماشیش علمی کاربردی راههای مقابله با سرمایخوردگی.
- ۱۲- کاویانی، محمدرضا (۱۳۸۷): میکروکلیماتولوژی، چاپ سوم، تهران، سمت.

## تحلیل سینوپتیکی یخندهان های بهاره جنوب شرق اصفهان..... ۱۰۹\۱۱

- ۱۳- کمالی، غلامعلی و حبیبی نو خندان، مجید (۱۳۸۴): بررسی توزیع مکانی و زمانی یخندهان در ایران و نقش آن در حمل و نقل جاده ایی، پژوهشنامه حمل و نقل، سال دوم، شماره ۲، صص ۱۳۵-۱۲۷.
- ۱۴- هژبرپور، قاسم و علیجانی، بهلول (۱۳۸۶): تحلیل همدید یخندهان های استان اردبیل، جغرافیا و توسعه، شماره ۱۰، صص ۸۹-۱۰۶.
- ۱۵- یزدان پناه، حجت الله و اوحدی، دلناز (۱۳۸۹): ارزیابی کاربرد روش مه پاشی و کاربرد توام آن با بخاری باگی در مبارزه با سرمازدگی بهاره، پژوهش های جغرافیایی طبیعی، شماره ۷۳، صص ۱۱۱-۱۲۰.
- ۱۶-cai,chong and others(۲۰۰۶),seasonal variation in the development of chilling injury in ,O Henry peaches- Scientia Horticultural,vol ۱۱۰, ۷۹-۸۳.
- ۱۷-Easterling, D.R., J.L. Evans, P.Ya. Groisman, T.R. Karl, K.E.Kunkel, and P. Ambenje, ۲۰۰۰; Observed variability and trends in extreme climate events: A brief review. Bulletin of the American Meteorological Society, ۸۱(۳), ۴۱۷-۴۲۵.
- ۱۸-Takahash :H; ۱۹۹۰ ;Migration of the cold Air Mass Related to Rain Belt formation of the chiness continent and Atmospheric eirculation systems During the Baiu season (in jananese);Geographical Review of Japan ;Jeries A; ۶۴(۱۰).
- ۱۹- Robeson SM. ۲۰۰۲;Increasing growing-season length in Illinois during the ۲۰th century. Climate Change ۵۲: ۲۱۹-۲۲۸.
- ۲۰-Rosenzweig,C. Hillel ,D., ۱۹۹۳.Agriculture in a green house world: potential consequences of climate change.Nat.Geogr.Res.Explor ۱۰.۸-۲۲۱.